

بِسْمِ اللّٰهِ الرَّحْمٰنِ الرَّحِيْمِ

١٠٨٢١٤

دانشگاه تبریز
مجتمع فنی و مهندسی
دانشکده مهندسی مکانیک

پایان نامه
برای دریافت درجه کارشناسی ارشد
مهندسی مکانیک - تبدیل انرژی

شبیه سازی عددی جریان سیال غیرنیوتونی با سطح آزاد

استاد راهنما : دکتر محمد سفید

استاد مشاور : دکتر شهرام طالبی

۱۳۸۷ / ۹ / ۲۲

پژوهش و نگارش : محمد توکلی کوپائی

اسفند ۱۳۸۶

۱۰۸۲۱۴

تقدیم به :

آخرین ذخیره الهی حضرت مهدی (عج)

و به پدر و مادر عزیزم
شما که سایه های لطفتان لحظه های زندگیم را پوشانده و دستان
مهربانتان پشت و پناه روزهای سخت و آسانم بوده است.

سپاس یزدان را که شایسته سپاس و روشنی بخش اندیشه هاست .
دانایی که سرچشمہ بی پایان خرد بر آینه نیکیها و کمال مطلق است.
توانایی که شناخت او درمان همه دردها و یاد او پایان بخش رنجهاست پس
او را می پرستیم، می ستاییم و به راهش گام می نهیم.

با سپاس از:

استاد گرامی جناب آقای دکتر محمد سفید که با دانش بیکران و زحمات بی شائبه خود در امر آموزش و تحقیق و اجرای این پروژه دلسوزانه مرا یاری نمودند. همچنین از استاد ارجمند جناب آقای دکتر شهرام طالبی که با راهنماییها و کمکهای خود باعث دلگرمی و تشویق اینجانب در انجام این پروژه شدند و از هیچ مشاوره ای در این زمینه دریغ نکردند کمال تشکر و قدردانی را دارم.
همچنین از همه عزیزان و دوستانی که در مراحل مختلف انجام پایان نامه و تدوین آن از راهنماییهای آنها استفاده کرده ام تشکر فراوان می نمایم.

چکیده

در این پایان نامه جریان سیال غیر نیوتنی با سطح آزاد به طور عددی بررسی می‌گردد. کد عددی تهیه شده در حالت دو بعدی قادر است مسائل غیر نیوتنی با سطح آزاد و به طور غیر دائم را حل کند. به دلیل گستردگی سیالات غیر نیوتنی، حل مسائل در این تحقیق محدود به سیالات لزج خالص مستقل از زمان بدون تنش اولیه تسلیم، خواهد بود و سیال غیر نیوتنی با مدل پاورلا شبیه سازی شده است. برای حل معادلات جریان که شامل معادلات مومنتوم همراه با جمله های غیر خطی تنش برشی می باشد از روش گام جزئی، استفاده شده است. نتایج بدست آمده از سیال پاورلا که شامل سیال شبیه پلاستیک و دایلاتانت می باشد، با سیال نیوتنی مقایسه شده است. سیال نیوتنی مرجع جهت مقایسه در حالت دو فازی آب و هوا در نظر گرفته شده است. برای تعیین موقعیت سطح از الگوریتم VOF که نوعی روش لاگرانژی ردیابی سطح است استفاده شده است. جهت تعیین نیروی کشش سطح از سه مدل تنش سطحی پیوسته (CSS)، نیروی سطحی پیوسته (CSF) و مایر استفاده شده است. با استفاده از کد عددی مسائل مختلفی در این تحقیق شبیه سازی شد. جریان داخل حفره جهت ارزیابی عملکرد کد و صحبت نتایج سیال غیر نیوتنی ارائه شده است. مسئله شکست سد نشان داد حل مایر بسیار بهتر از CSS و CSF می باشد. مسائل دیگری از قبیل قطره دایروی، قطره بیضوی و قطره بر روی سطح نیز ارائه شد و مقایسه هایی بین نتایج سیال نیوتنی و غیر نیوتنی انجام گرفت. در تمامی موارد کد تهیه شده به خوبی عمل کرده است. البته اندازه سلولهای محاسباتی و گام زمانی در همگرائی حل عددی تأثیر زیادی دارد. نکته مهمی که باید بدان اشاره کرد این است که هنگام طرح مسائل با نرخ برش بالا تفاوت قابل ملاحظه ای بین نتایج سیال نیوتنی و غیر نیوتنی مشاهده می شود ولی در نرخهای برش پایین نتایج این دو نوع سیال به هم نزدیک است.

کلمات کلیدی : سیال غیر نیوتنی، روش نسبت حجمی سیال (VOF)، جریان با سطح مشترک، مدل پاورلا، روش عددی گام جزئی، سیال شبیه پلاستیک، سیال دایلاتانت

بسمه تعالی

شناسه: ب/ک/۳	صور تجلیسه دفاعیه پایان نامه دانشجوی دوره کارشناسی ارشد	 مدیریت تحصیلات تكمیلی
--------------	---	--

دانشجوی کارشناسی ارشد جلسه دفاعیه پایان نامه تحصیلی آقای / خانم: محمد توکلی کوپایی

رشته / گرایش: مهندسی مکانیک - تبدیل انرژی

تحت عنوان: شبیه سازی عددی جریان سیال غیر نیوتونی با سطح آزاد

و تعداد واحد: ۶ در تاریخ ۱۳۸۶ / ۱۲ / ۱۳ با حضور اعضای هیأت داوران (به شرح ذیل) تشکیل گردید.

پس از ارزیابی توسط هیأت داوران، پایان نامه با نمره: به عدد ۱۹/۱ به حروف **نوزده و نیم کم**

و درجه عالی مورد تصویب قرار گرفت.

امضاء



نام و نام خانوادگی

آقای دکتر محمد سفید

عنوان

استاد / استادان راهنما:



آقای دکتر شهرام طالبی

استاد / استادان مشاور:



آقای دکتر محمدرضا هادیان

متخصص و صاحب نظر داخلی:

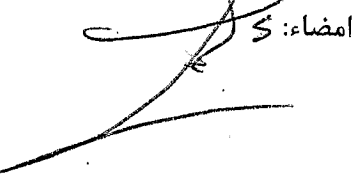


آقای دکتر احمد رضا عظیمیان

متخصص و صاحب نظر خارجی:

نماینده تحصیلات تكمیلی دانشگاه (ناظر)

نام و نام خانوادگی: آقای دکتر منصور نخکش

امضاء: 

فهرست مطالب

صفحه

عنوان

فصل اول : مقدمه

۱	- سیال غیر نیوتنی
۳	- جریان با سطح مشترک
۴	- کشش سطح

فصل دوم : سیالات غیر نیوتنی

۷	- مقدمه
۹	- دسته بندی سیالات غیر نیوتنی
۱۰	- سیالات لزج خالص
۱۱	- سیالات لزج مستقل از زمان با تنش تسليم اولیه
۱۳	- سیالات لزج مستقل از زمان بدون تنش تسليم اولیه
۱۳	- سیالات شبه پلاستیک
۱۶	- سیالات غلیظ شونده
۱۷	- سیالات تیکسوتروبیک
۱۸	- سیالات رئوپیکتیک
۱۸	- سیالات ویسکوالاستیک
۲۰	- انتخاب نهایی

فصل سوم : روش های عددی در شبیه سازی جریان های با سطح مشترک

۲۱	- مقدمه
۲۱	- معادلات حاکم و الگوریتم حل
۲۲	- روش های دنبال کننده سطح
۲۴	- روش های تسخیر کننده سطح
۲۶	- روش VOF یا حجم سیال

۲۹	- تعیین محل سطح مشترک یا بازسازی سطح	۳-۳
۳۰ روشن SLIC	۱-۳-۳
۳۰ روشن SOLA	۲-۳-۳
۳۱ روشن PLIC	۳-۳-۳
۳۳ انتقال سطح	۴-۳
۳۴ روشهای لگرانزی انتقال سطح	۱-۴-۳
۳۷ نیروی کشش سطحی	۳-۵
۳۸ بیان ریاضی اثر کشش سطحی	۱-۵-۳
۴۰ روشن نیروی سطحی پیوسته	۲-۵-۳
۴۴ روشن تنش سطحی پیوسته	۳-۵-۳
۴۵ روشن مایر	۴-۵-۳

فصل چهارم : مروری بر کارهای انجام شده

فصل پنجم : روش حل عددی

۶۶ مقدمه	۱-۵
۶۹ روش عددی گام جزئی	۲-۵
۷۲ حل معادله پواسان	۳-۵
۷۲ خطاهای و همگرایی کند	۱-۳-۵
۷۴ انتقال اطلاعات بین شبکه ها	۲-۳-۵

فصل ششم : نتایج

۷۹ جریان در حفره	۱-۶
۹۲ شکست سد	۲-۶
۹۳ قطره دایره ای	۳-۶
۹۳ قطره بیضوی	۴-۶
۹۳ قطره آب ساکن روی دیوار	۵-۶
۹۳ نتیجه گیری و پیشنهادات	۶-۶

مراجع

فهرست اشکال

شکل ۱-۲: حرکت دائم آرام سیال نیوتنی بین دو صفحه موازی	۸
شکل ۲-۲: نمودار تنش برشی بر حسب نرخ برش برای سیال نیوتنی	۸
شکل ۳-۲: دسته بندی سیالات غیر نیوتنی	۹
شکل ۴-۲: نمودار تنش برشی بر حسب نرخ برش و زمان برای سیالات مختلف	۱۰
شکل ۵-۲: نمودار تنش برشی بر حسب نرخ برش برای سیالات با تنش تسليم	۱۱
شکل ۶-۲: نمودار تنش برشی بر حسب نرخ برش برای سیالات تیکسو تروپیک	۱۷
شکل ۷-۲: نمودار تنش برشی بر حسب نرخ برش برای سیالات رئوپکتیک	۱۸
شکل ۱-۳: سلول محاسباتی شامل سیال ۱ و ۲	۲۷
شکل ۲-۳: نمونه ای از توزیعتابع F در حوالی سطح مشترک	۲۹
شکل ۳-۳: تولید یک سطح مشترک با روش SLIC	۳۰
شکل ۴-۳: تولید یک سطح مشترک با روش SOLA	۳۱
شکل ۵-۳: تولید یک سطح مشترک با روش PLIC	۳۱
شکل ۳-۶: انتقال لاغرانژی سطح در جهت (x) بازسازی سطح در سلول مرکزی قبل از انتقال (شکل سمت چپ) و توسعه سلول مرکزی در جهت (x) بعد از انتقال	۳۴
شکل ۳-۷: انتقال سطح لاغرانژی	۳۵
شکل ۴-۳: ناحیه گذار در یک شبکه محاسباتی	۴۱
شکل ۹-۳: میان یابی وزنی در روش ماير	۴۶
شکل ۱-۴: بررسی جت ناپایدار در سیال نیوتنی و غیر نیوتنی در زمانهای مختلف	۵۳
شکل ۲-۴: بررسی تزریق خون در پا در سیال نیوتنی و غیر نیوتنی در زمانهای مختلف	۵۳
شکل ۳-۴: تحلیل جت ناپایدار سه بعدی با سیال پلیمر	۵۴
شکل ۴-۴: برخورد قطره آب با صفحه فلزی	۵۴
شکل ۴-۵: شبیه سازی سه بعدی یک قطره آویزان	۵۵
شکل ۴-۶: شبیه سازی سه بعدی یک قطره آویزان و مقایسه با حالت تجربی	۵۵
شکل ۴-۷: برخورد دو قطره	۵۶

شکل ۶-۸: مقایسه بین مؤلفه عمودی سرعت، بر حسب محور افقی گذرنده از مرکز حفره در سیال دایلاتانت با سیال نیوتونی.....	۸۶
شکل ۶-۹: توزیع ویسکوزیته ظاهری ($\text{kg}/\text{m.s}$) در سیال شبه پلاستیک و سیال دایلاتانت	۸۷
شکل ۶-۱۰: زمان رسیدن خطوط جریان به حالت دائم بر حسب شاخص سیال پاورلا.....	۸۸
شکل ۶-۱۱: نمودار تنش برشی بر حسب نرخ برش سیالات غیر نیوتونی لزج خالص بدون تنش تسلیم اولیه [۶۱].....	۸۸
شکل ۶-۱۲: مقایسه تنش برشی بر حسب نرخ برش در سیال شبه پلاستیک و نیوتونی.....	۸۹
شکل ۶-۱۳: مقایسه تنش برشی بر حسب نرخ برش در سیال دایلاتانت و نیوتونی.....	۸۹
شکل ۶-۱۴: مقایسه ویسکوزیته ظاهری بر حسب نرخ برش کلی در سیال شبه پلاستیک	۹۰
شکل ۶-۱۵: مقایسه نمودار لگاریتمی ویسکوزیته ظاهری بر حسب نرخ برش کلی در سیال شبه پلاستیک (راست) با مرجع (چپ)[۶۲].....	۹۰
شکل ۶-۱۶: مقایسه ویسکوزیته ظاهری بر حسب نرخ برش کلی در سیال دایلاتانت	۹۱
شکل ۶-۱۷: مقایسه نمودار لگاریتمی ویسکوزیته ظاهری بر حسب نرخ برش کلی در سیال دایلاتانت.....	۹۱
شکل ۶-۱۸: هندسه اولیه مسئله	۹۵
شکل ۶-۱۹: مقایسه شکل سطح سیال شبه پلاستیک ($n = 0/7$) در زمانهای مختلف.....	۹۶
شکل ۶-۲۰: مقایسه شکل سطح سیال شبه پلاستیک ($n = 0/8$) در زمانهای مختلف.....	۹۷
شکل ۶-۲۱: مقایسه شکل سطح سیال دایلاتانت ($n = 1/3$) در زمانهای مختلف	۹۸
شکل ۶-۲۲: مقایسه شکل سطح سیال دایلاتانت ($n = 1/4$) در زمانهای مختلف	۹۹
شکل ۶-۲۳: مقایسه شکل سطح سیال نیوتونی و غیر نیوتونی در زمانهای مختلف با استفاده از روش کشش سطح مایر.....	۱۰۰
شکل ۶-۲۴: مقایسه شکل سطح سیال شبه پلاستیک ($n = 0/8$) وقتی که مرزهای سمت بالا وراست باز باشند.....	۱۰۲
شکل ۶-۲۵: مقایسه شکل سطح سیال دایلاتانت ($n = 1/4$) وقتی که مرزهای سمت بالا وراست باز باشند.....	۱۰۳
شکل ۶-۲۶: مقایسه شکل سطح سیال نیوتونی وقتی که مرزهای سمت بالا وراست باز باشند.....	۱۰۴
شکل ۶-۲۷: فرایند تخلیه محفظه با استفاده از روش کشش سطح مایر در سیال نیوتونی و غیر نیوتونی.....	۱۰۵
شکل ۶-۲۸: مقایسه جرم سیال خروجی از مرز سمت راست در زمانهای مختلف برای سیال نیوتونی و غیر نیوتونی.....	۱۰۵
شکل ۶-۲۹: مقایسه توزیع ویسکوزیته در سیال شبه پلاستیک ($n < 1$) و سیال دایلاتانت ($n > 1$) برای حالت شکست سد در یک محفظه بسته	۱۰۶

شکل ۳۰-۶: مقایسه توزیع ویسکوزیته در سیال شبه پلاستیک ($n = 0.8$) و سیال دایلاتانت ($n = 1/4$) برای حالت شکست سد با مرزهای باز	۱۰۶
شکل ۳۱-۶: هندسه اولیه قطره دایره ای	۱۰۷
شکل ۳۲-۶: تست قطره ساکن در محیطی بدون گرانش	۱۰۸
شکل ۳۳-۶: قطره سیال غیر نیوتونی بیضوی در محیطی بدون گرانش	۱۱۰
شکل ۳۴-۶: مقایسه قطره بیضوی برای سیال شبه پلاستیک و دایلاتانت	۱۱۱
شکل ۳۵-۶: مقایسه قطره آب ساکن روی دیوار در سیال نیوتونی و غیر نیوتونی	۱۱۴

فهرست علائم اختصاری

شاخص سیال پاورلا	n
ثابت سازگاری، $(pa.s^n)$	k
جمله اینرسی، m/s^3	L_i
جمله لزجت، m/s^3	L_v
جمله مربوط به کشش سطح m/s^3	L_s
تابع کسر حجمی	F
شتاب گرانش، m/s^3	g
مولقه عمودی سرعت، m/s	V
مولقه افقی سرعت، m/s	U
گام زمانی، s	τ
ضریب لزجت، $kg/m.s$	μ
چگالی، kg/m^3	ρ
ضخامت ناحیه گذار، m	h
بردار یکه عمود بر سطح	\hat{n}
بردار یکه مماس بر سطح	\hat{t}
نیروی حجمی	F_{sv}
تابع دلتای دیراک	δ_s
اختلاف چگالی، kg/m^3	[ρ]
ماتریس همانی	I
بردار شتاب	e
تابع انحراف	O
تنش برشی، pa	τ_{yx}
تنش عمودی، pa	σ_{xx}
ویسکوزیته ظاهری، $kg/m.s$	η
لزجت در نرخ برش صفر، $kg/m.s$	μ_0
زمان خلاصی	λ
نرخ برش، s^{-1}	γ
ویسکوزیته نیوتونی، $kg/m.s$	μ^*

فصل اول : مقدمه

۱-۱- سیال غیر نیوتونی

روابط ریاضی متعددی برای بیان رفتار سیال ایده ال در موقعیت های مختلف حاصل شده است که بعضی از این روابط تخمین مناسبی برای سیالهای واقعی در موقعیت های خاص می باشد. پرانتل^۱ با ارائه تئوری لایه مرزی نشان داد اثرات اصطکاک در لایه نازک سیال متصل به دیواره که لایه مرزی نامیده می شود حائز اهمیت است. با ارائه این تئوری نشان داده شد که بیرون از لایه مرزی، سیال تقریباً بدون اصطکاک بوده به طوری که روابط سیال ایده ال در این ناحیه معتبر است. اما مرحله مهمی که در تکامل تئوری دینامیک سیالات مورد توجه قرار دارد مربوط به فرایند های صنعتی و پروسه هایی است که رفتار جریان همراه با برش، با روابط نیوتونی قابل بیان نیست. در سیال نیوتونی یک ارتباط خطی بین تنفس برشی و نرخ برش وجود دارد لیکن بسیاری از سیال های صنعتی رفتارهای غیر نیوتونی از خود بروز می دهند به عنوان مثال محلولها و پلیمرهای مذاب، رنگ، امولیسون های خون، مایعات اتمی و موادی که دارای خواص توأم لزج و الاستیک هستند را می توان نام برد.

^۱ - Prandtle

از آنجایی که این سیالات به طور فزاینده در یک طیف گسترده در فرآیندهای صنعتی به کار گرفته می‌شوند درک شاخصهای انتقالی آنها اهمیت یافته است و این مسأله لزوم شبیه سازی این نوع جریانها را نه تنها به عنوان یک کار علمی صرف بلکه به عنوان یک ضرورت در زندگی امروز بشر خاطرنشان می‌کند.

سیالات غیر نیوتونی تحت ترکیبات شیمیائی آنها که خواص آنها را باعث می‌شود دسته‌بندی شده‌اند. در ارتباط با پاسخ الاستیک سیال به تنش اعمالی دو گروه کلی سیال وجود دارند: سیال لزج خالص و سیال ویسکوالاستیک.

چنانچه با برداشتن تنش اعمالی تغییر شکلی که سیال را به حالت اولیه طبیعی برگرداند وجود نداشته باشد یعنی پاسخ الاستیک نباشد، سیال لزج خالص نامیده می‌شود.

سیالات لزج خالص به سیالات واپسیه به زمان و مستقل از زمان تقسیم بندی شده است. سیالات مستقل از زمان سیالاتی هستند که مدت زمان برش تأثیری روی لزجمت آنها ندارد. و نرخ برش در هر نقطه واپسیه به تنش برشی در همان نقطه است.

مدل پاورلا^۱ بیشترین کاربرد را در توصیف سیالات غیر نیوتونی لزج خالص دارد. این مدل به طور گسترده کاربرد داشته و طیف گسترده‌تری از سیالات را در بر می‌گیرد و شامل سیالات نیوتونی هم می‌شود و نیز صدق بیشتری بر رفتار سیال در نرخ برش بالا خواهد داشت.

بر این اساس در این تحقیق بررسی مسائل محدود به سیالات لزج خالص مستقل از زمان بدون تنش اولیه تسلیم، منطبق بر مدل پاورلا خواهد بود. در فصل دوم با یک دسته بندی جامع رئولوژیکی برای سیالات غیر نیوتونی آشنا خواهیم شد. همچنین به بررسی مدل‌های مختلف سیال غیر نیوتونی و روش‌هایی که برای شبیه سازی هر مدل پیشنهاد شده است خواهیم پرداخت.

۱-۲- جریان با سطح مشترک

بسیاری از پدیده های متدال طبیعی در حضور و مجاورت چندین سیال در کنار یکدیگر رخ می دهد. جریانهای با سطح مشترک مورد توجه بخش وسیعی از محققینی در حوزه مکانیک سیالات است و کاربرد های فراوانی در زمینه های مختلف فرایندهای طبیعی و صنعتی دارد. جریان های با سطح مشترک به آن دسته از جریان های گفته می شود که دو سیال با خواص متفاوت در یک سطح مشترک با هم در تماس هستند، مثل آب و هوا در سطح دریا. در دو سوی این سطح خواص مربوط به هر کدام از سیالات است و با گذر از این سطح یک جهش و یک ناپیوستگی در خواص رخ می دهد.

تلashهای بسیاری در جهت شناسایی و شبیه سازی این نوع جریانها صورت گرفته است که این ناشی از کاربرد وسیع این جریانها می باشد. جریان های داخل رودخانه و اقیانوس ها نمونه های عینی این جریان ها در طبیعت هستند. در صنعت نیز نمونه های زیادی از جریان با سطح مشترک وجود دارد که از آن جمله می توان به فرایند تولید قطره، اسپری، و اتمیزه کردن مایعات اشاره کرد. از کاربردهای اسپری کردن، احتراق سوخت مایع در موتور های احتراق داخلی، توربین های گازی، کوره ها، دیگهای بخار، رم جت ها و راکت های با سوخت های مایع، رنگ آمیزی، نقاشی، پوشش سطوح فلزی، دستگاه های چاپ و چاپگر، تولید پودر در خشک کن ها، در دستگاه های پزشکی نظیر سیستم اینهلاسیون برای بیماری آسم و دستگاه های مرطوب کننده هوا، شستشو دهنده ها و تمیز کننده های صنعتی تزریق آب برای کاهش NOX و فیلتر کردن ذرات و غبار.

از جمله دیگر کاربردها خنک کردن صفحات پیل های سوختی و نیز دفع آب تولید شده روی صفحات بوسیله جریان هوا و نیز میعان بخار آب تولید شده در دیگهای بخار، پالایشگاه ها و

نیروگاه‌ها می‌باشد. نحوه تولید اسپری، توزیع سرعت و اندازه قطرات و مسیر حرکت آنها در بسیاری از موارد در عملکرد سیستم حائز اهمیت است.

به عنوان مثال میزان قطرات در سمپاشی گیاهان، برای کسب نتیجه زیست محیطی بسیار مهم است. به طور کلی این بخش از مسائل سیالات به علت چند فازی بودن میدان حل و پدیده‌های فیزیکی نظیر ناپایداری کلوین - هلمهولتز و ناپایداری ریلی - تیلور و حضور نیروی کشش سطح و همچنین به علت متحرک بودن سطح مشترک و پیچیدگی‌های هندسی که با زمان می‌تواند به شدت تغییر کند اساساً از لحاظ عددی دارای ظرافت و پیچیدگی‌های خاصی خواهد بود.

۳-۱- کشش سطح

پیچیدگی جریان‌های با سطح مشترک تنها به علت وجود یک سطح متحرک نمی‌باشد بلکه وجود برخی عوامل در سطح، دشواری شبیه سازی آن‌ها را دوچندان کرده است. یکی از این عوامل وجود کشش سطحی می‌باشد که در اینجا به اختصار به آن پرداخته می‌شود. کشش سطحی در سطح مشترک دو سیال، که حداقل یکی از آنها مایع باشد و در یکدیگر قابل حل نباشند اتفاق می‌افتد. به این معنی که سطح مشترک در حالتی از کشش قرار دارد و شبیه به یک پوسته الاستیک عمل می‌کند.

وجود این پدیده به این علت است که مولکول‌هایی که در سطح و یا نزدیک آن قرار دارند، نیرویی متفاوت از مولکول‌هایی که دور از سطح قرار دارند تجربه می‌کنند. در داخل مایع نیروهای پیوستگی یکدیگر را خنثی می‌کنند ولی در سطح آزاد مایع نیروهای پیوستگی که از پایین اثر می‌کنند از نیروهای چسبندگی بیشتر شده و باعث ایجاد کشش سطحی می‌شوند.

در برخی از جریان‌های با سطح مشترک، کشش سطحی تاثیر عمده‌ای بر رفتار جریان دارد به طوری که در برخی از این جریان‌ها خود کشش سطح عامل جریان است. در بسیاری از کاربردهایی که در ابتدای این فصل برای جریان‌هایی با سطح مشترک ذکر شده، کشش سطحی

نقش ویژه‌ای دارد. چون کشش سطحی در مرز مشترک دو سیال ظاهر می‌شود، بنابراین به عنوان یک شرط مرزی برای هر کدام از سیالات می‌باشد. اثر کشش سطحی در مرز مشترک دو سیال سبب ایجاد اختلاف فشار بین دو سیال است که البته این مقدار اختلاف فشار وابسته به انحنای سطح نیز می‌باشد.

با توسعه روش‌های عددی شبیه‌سازی جریان‌های با سطح مشترک تلاش برای شبیه‌سازی این اثر نیز صورت گرفته است که بسته به روش عددی که برای ردیابی سطح به کار گرفته می‌شود، تکنیک‌های مختلفی برای این منظور ارائه شده است. در روشهایی که سطح مشترک به عنوان شرط مرزی است و شبکه حل منطبق بر سطح مشترک می‌باشد (روش‌های لاغرانژی) اعمال این اثر با توجه به اینکه هندسه سطح مشخص است، به راحتی امکان پذیر می‌باشد. اما در روشهایی که شبکه حل بر سطح منطبق نبوده و سطح به طور غیر مستقیم ردیابی می‌شود (روش‌های اویلری) اعمال کشش سطحی به راحتی امکان پذیر نبوده و نیاز به ترفند‌های ویژه‌ای دارد. از آنجایی که روش‌های اویلری توانایی بیشتری در شبیه‌سازی جریان‌های با سطح مشترک دارد تلاش‌های زیادی در جهت اعمال کشش سطحی برپایه این روش‌ها صورت گرفته است که این پایان نامه نیز بر اساس همین روش‌ها انجام شده است.

در فصل سوم سعی خواهد شد روش‌های متداول عددی در زمینه ردیابی سطح و هم‌چنین نحوه محاسبه نیروی کشش سطحی به طور مفصل ارائه شود. در این فصل به انواع مختلف روشهای تعیین سطح مشترک و چگونگی اعمال الگوریتم آنها به خصوص روش متداول حجم سیال پرداخته می‌شود.

در فصل چهارم برخی کارهای انجام شده با روش‌های مختلف تعیین سطح مشترک در زمینه جریان سیال نیوتینی و غیر نیوتینی ارائه خواهد شد. در این فصل کاربردهای روش‌های تعیین سطح مشترک و میزان دقت آن‌ها نشان داده خواهد شد.

فصل پنجم در مورد کد و روش عددی استفاده شده در آن است. در این فصل معادلات حاکم و الگوریتم کامل حل بیان خواهد شد. الگوریتم اصلی حل، استفاده از روش پاورلا برای مدل کردن سیال غیر نیوتونی و استفاده از روش گام جزئی برای حل معادلات و حل معادله پواسون با روش های چند شبکه ای است.

فصل ششم به بحث و بررسی نتایج بدست آمده با کد تهیه شده در زمینه حفره، شکست سد با مرزهای باز و بسته، قطره دایره ای و بیضوی و قطره بر روی سطح خواهیم پرداخت و در نهایت نتیجه گیری خواهیم کرد.

فصل دوم : سیالات غیر نیوتونی^۱

۱-۲ - مقدمه

در سیال نیوتونی یک ارتباط خطی بین تنش برشی و نرخ برش وجود دارد لیکن بسیاری از سیال‌های کاربردی رفتارهای غیر نیوتونی از خود بروز می‌دهند به عنوان مثال محلولها و پلیمرهای مذاب، رنگ، امولیسون‌های خون، مرکب چاپ، مایعات اتمی و موادی که دارای خواص توأم لزج و الاستیک هستند را می‌توان نام برد. از آنجایی که این سیالات به طور فزاینده در یک طیف گسترده در فرآیندهای صنعتی به کار گرفته می‌شوند درک شاخصهای انتقالی آنها اهمیت یافته است. به طوریکه در دو دهه گذشته تحقیقات فراوانی در مقالات گزارش شده است. برای تمیز بین دو سیال نیوتونی و غیر نیوتونی یک سیال را بین دو صفحه موازی درنظر بگیرید به طوریکه فاصله صفحه‌ها d باشد. همانگونه که در شکل (۱-۲) نشان داده شده است هنگامی که نیروی F در جهت x به صفحه بالائی اعمال می‌شود، یک سرعت دائم u ایجاد خواهد شد و به واسطه پیوستگی بین سیال و صفحه بالائی، سیال کشیده می‌شود تنش برشی منتجه به وسیله رابطه

$$\tau_{yx} = \frac{F}{A}$$

بیان می‌شود

^۱ - Non-Newtonian Fluids